

重组 Rhodobacter sphaeroides hemA 表达的调控

王俊卿， 张肇铭^{*}

(山西大学生命科学与技术学院, 太原 030006)

摘要 *Rhodobacter sphaeroides hemA* 编码 5-氨基乙酰丙酸合酶(ALAS), 催化磷酸吡哆醛依赖性琥珀酰 CoA 和甘氨酸缩合成 ALA。将 *R. sphaeroides hemA* 导入 *E. coli* 进行表达, 当 *hemA* 具有与 *lac* 启动子相同的转录方向时, ALAS 有活性。*lac* 启动子与 *hemA* 之间的距离会影响 ALAS 在不同培养基上的表达。*E. coli* 宿主菌对 ALAS 表达、ALA 产量有显著影响, 在实验所用 6 种菌株中, *E. coli* DH1 是最佳宿主菌 ($P < 0.05$)。ALAS 表达还与碳源有关, 琥珀酸为碳源时, 重组 ALAS 活性最高 ($P < 0.05$), 以乳酸为碳源时, ALAS 活性很低。重组 ALAS 活性也受培养基 pH 值影响, pH 6.5 时, 活性最高 ($P < 0.05$)。

关键词 5-氨基乙酰丙酸合酶, 同工酶 *hemA*, 基因表达调控, 宿主菌, 培养基

中图分类号 Q786, Q756

Regulation on Expression of Recombinant *Rhodobacter sphaeroides hemA*

WANG Jun-Qing, ZHANG Zhao-Ming^{*}

(College of Life Science and Technology, Shanxi University, Taiyuan 030006, China)

Abstract *Rhodobacter sphaeroides hemA* gene encoding for 5-aminolevulinic acid synthase (ALAS), which catalyzes pyridoxal phosphate-dependent condensation of succinyl coenzyme A and glycine forming ALA. *R. sphaeroides hemA* gene in pALA vector system was transformed into *E. coli*. ALA synthase activity level was maximal when *hemA* had the same transcription direction as the *lac* promoter. The distance between the *lac* promoter and *hemA* affected the expression of ALA synthase on different growth substrates. And *E. coli* host strain had an significant effect on recombinant ALA synthase activity level and ALA production, with *E. coli* DH1 being best suited among six host strains studied ($P < 0.05$). ALA synthase activity was also dependent on the carbon sources. Succinate gave the highest level of ALA synthase activity ($P < 0.05$), while lactose resulted in a repression of ALA synthase. ALA synthase activity level was also dependent on medium pH, with maximal activity occurring at pH 6.5 ($P < 0.05$)。

Key words *hemA*, 5-aminolevulinic acid synthase, regulation of gene expression, host strains, medium

5-氨基乙酰丙酸(ALA)是一个五碳氨基酸, 是生物体内四吡咯生物合成的前体。其生物合成主要有两条途径。C4 途径主要存在于原核细菌、酵母菌和哺乳动物细胞中。ALA 是在 5-氨基乙酰丙酸合酶(ALAS)催化下琥珀酰 CoA 和甘氨酸缩合而成的。另一条 C5 途径中 ALA 是由谷氨酸经三步反应而成的。还有关于 ALA 合成的第三途径的报道, 是 4,5-二氧代颤氨酸转氨基形成的, 此途径很少见^[1]。

细胞的 ALA 合成量受所合成的 ALA 的反馈调节, 该反应是四吡咯合成的限速步骤。添加外源 ALA 可打破此“瓶颈”限制, 从而提高细胞的四吡咯合成量^[2]。低浓度 ALA 由于可促进植物叶绿素合成, 故可作为植物生长调节剂。同样地, ALA 可促进某些重

要的商业性四吡咯产物如 V_{B12} 等的合成^[3]。

近来报道, ALA 可作为一种有效的光动力制剂。ALA 被机体摄入后可特异性在特定组织中累积, 然后转化为光动力化合物 P_p, 经光活化后 P_p 可诱导单线态氧的形成, 导致细胞的过氧化反应而损伤、死亡。因此 ALA 可作为光动力除草剂、杀虫剂、肿瘤

收稿日期: 2004-09-24, 接收日期: 2005-03-07

国家科技部攻关项目(No. 2001BA540C)

*联系人 Tel : (0351) 7011409, E-mail : Zhangzhm @sxu.edu.cn

Received : September 24, 2004; Accepted : March 7, 2005

Supported by National Research Foundation of Ministry of Science and Technology of China(No. 2001BA540C)

* Corresponding author Tel : (0351) 7011409, E-mail : zhangzhm @sxu.edu.cn

等疾病的治疗剂,对哺乳动物无毒、易降解,对环境也不会造成污染^[4]。

由于ALA化学合成过程很复杂,产量低,生物合成毫无疑问是更佳的途径。过去关于ALA合成量的报道都在17~200 μmol/L范围内,王俊卿^[5]等利用光合细菌作为生物催化剂,对生长速度和生物转化条件进行调控,可将产量提高到9.3 mmol/L。提高ALA产量的另一途径是代谢途径的动力学调控。Chen^[6]和Li^[7]分析了C5途径中酶基因表达活性对ALA合成的影响,由于C5途径中3个酶活性都依赖于tRNA^{Gln},故C4途径中酶编码基因的高表达效果更直接。ALAS可通过多种来源纯化获得,但 *Rhodobacter sphaeroides* 的ALAS是最适的^[8],因为它具有很高的特异活性,很低的甘氨酸和琥珀酰CoA KmS。

Table 1 Bacterial strains and plasmids used

Strains and plasmids	Characteristics	Reference
<i>E. coli</i> .		
DH1	<i>SupE44</i> , <i>hadR17</i> , <i>recA1</i> , <i>gyrA96</i>	Ghazeb ^[11]
BL21	<i>E. coli</i> . B, F ⁻ , <i>dcm</i> , <i>ompT</i> , <i>lon</i> , <i>hds</i> , <i>gal</i>	Ghazeb ^[11]
Q236	<i>dut1</i> , <i>ung1</i> , <i>thi1</i> , <i>relA1</i>	Ghazeb ^[11]
TG1	<i>supE</i> , <i>hsd</i> , <i>thi</i> ,	Ghazeb ^[11]
HB101	<i>SupE44</i> , <i>hsd20</i> , <i>recA1</i> , <i>ara14</i>	Ferreira ^[12]
JA221	<i>lpp</i> , <i>hdsM</i> ⁺ , <i>tspE5</i> , <i>leuB6</i> , <i>lacY</i> , <i>recA</i>	Ferreira ^[12]
plasmids		
pUC18/19	Cloned vector	Ferreira ^[12]
pUC19kn	pUC19 containing a 1.282 kb kanamycin resistance Genblock.	Ferreira ^[12]
pUII014	pUC18 harboring a 1,976 kb <i>Bam</i> H/ <i>Nae</i> I fragment	Klotzky ^[13]
pUII015	pUC19 harboring a 1,976 kb <i>Bam</i> H/ <i>Nae</i> I fragment	Klotzky ^[13]
pALA2	pUII015 containing a 1,282 kb kanamycin resistance Genblock in site.	This study
pALA3	pUII014 containing a 1,282 kb kanamycin resistance Genblock in site.	This study
pALA7	pUC18 harboring the start codon of <i>hemA</i> directly next to <i>Eco</i> R site.	This study

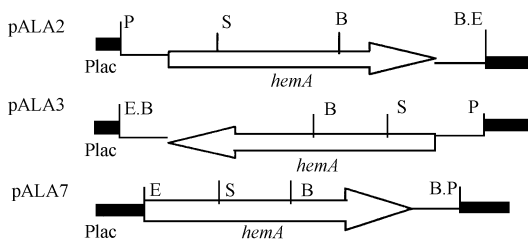


Fig.1 Constructs of recombinant plasmids

Chromosomal insert of plasmid is shown by thin line, and vectors are shown as solid areas. Open arrow represents the *hemA* open reading frame and its transcription direction. The site and direction of the *lac* promoter (*Plac*) is indicated by arrow.

Restriction site: E: *Eco*R ; S: *Sac* ; B: *Bam*H ; P: *Pst*

1.2 DNA克隆、表达

PCR扩增、连接、转化、SDS-PAGE检测均按常规操作进行^[9]。Km抗性基因试剂盒、DNA引物片段、酶等均从Takara公司购买。引物序列如下: 5-

本实验将编码ALAS的*R. sphaeroides hemA*基因导入*E. coli*,并对重组ALAS活性进行了分析,主要包括以下3方面:(1)质粒、宿主菌对ALAS表达的影响;(2)诱导异源ALAS表达的最适条件;(3)重组菌的ALA合成量。

1 材料与方法

1.1 菌株、质粒和培养条件

实验所需的菌株、质粒见Table 1和Fig. 1。对照组*E. coli*用LB培养基培养16 h,实验组培养基含5 g/L碳源和0.25 g/L酵母粉(pH 6.5)。生长培养基中需加入抗生素:Amp 100 μg/ml、Kn 25 μg/ml,于37摇瓶(150 r/min)培养16 h后收集细胞,实验组在吸光度(A_{660nm})为0.4时收集细胞。

GGAA TTCTCA GGGAGACGAA GATGGAC-3 和 5'-GAGG TCGCC GAGCTCGGCCCTCG3'。(斜体表示 *Eco*R 、*Sac* 酶切位点)。

1.3 免疫印迹分析

取SDS/PAGE分离的样品于硝酸纤维素膜上,用封闭液(1%奶粉、0.02%叠氮钠)以1:1000稀释第一抗体(制备方法见参考文献[8]),将已封闭的硝酸纤维素(NC)膜按0.1 ml/cm²加第一抗体溶液,密封,4℃轻微振荡2 h后,PBS冲洗3次,转入150 mmol/L NaCl,50 mmol/L Tris-HCl pH 7.5)溶液,室温轻微振荡10 min后,将第二抗体碱性磷酸盐融合的羊抗兔IgG稀释1:1000(稀释液1%去脂奶粉,150 mmol/L NaCl,50 mmol/L Tris-HCl,pH 7.5),密封,室温轻微振荡1 h后,用稀释液冲洗5次,碱性磷酸酶法定显色。

1.4 酶活性分析

200 ml 菌液 10 000 r/min 离心 10 min, 细胞用 50 mmol/L 磷酸钾缓冲液反复冲洗 (pH 7.0), 悬浮于 4 ml 相同的缓冲液中。-20°保存备用。浸提液再用超声波破碎、离心 (15 000 r/min, 20 min), 取上清液。ALAS 活性用 Burham 法^[10] 进行, 反应混合物成分: 50 mmol/L Tris-HCl (pH 7.5)、20 mmol/L MgCl₂、0.1 mol/L 琥珀酸钠、0.1 mol/L 甘氨酸、0.1 mmol/L ATP、0.2 mmol/L CoA, 在 10、20、30 min 时各取 300 μl 样品于含 150 μl 10% 三氯乙酸微量管中, 离心 (15 000 g, 5 min), 取 300 μl 上清液于加有 400 μl 1 mol/L 乙酸钠的试管中 (pH 4.6), 再加入 35 μL 乙酰丙酮, 100°水浴 15 min, 冷却后, 加入 200 μl 新鲜的 Ehrlich's 试剂 (校正的 Ehrlich's 试剂成分: 42 ml 乙酸 + 8 ml 70% 高氯酸, 加入 1 g -二甲氨基苯甲醛), 5 min 后 HPLC 分析 ALA 合成量。

2 结果

2.1 质粒载体对重组 ALAS 活性的影响

据报道 pUII015 转化的 *E. coli* 菌体呈红色, 可能是导入 pUII015 的 *E. coli* DH1 四吡咯合成增多的缘故^[13]。菌体浸提物中可检测到 ALAS 活性, 但水平从 0~3 nmol·min⁻¹·mg⁻¹ 不等, 可能是 pUII015 的不稳定性造成的。本实验构建的质粒 pALA2 是在 pUII015 EcoR 位点带有 Kn 抗性, 所有带有此质粒的菌体在 LB 培养基上生长时都保留了完整的 Kn 抗性。对不同质粒转化的 *E. coli* DH1 的 ALAS 活性测定结果见 Table 2。在不带有 *R. sphaeroides* hemA 的对照组菌体中 ALAS 活性极低; pALA3 转化的 *E. coli* 细胞, 由于 hemA 转录方向和 lac 启动子方向相反 ALAS 活性也极低; pALA2 转化的细胞, 尽管 hemA 转录方向与 lac 启动子方向相同 ALAS 活性也很低。说明 *R. sphaeroides* hemA 的启动子不能为 *E. coli* 识别, 只有当 *R. sphaeroides* hemA 在 *E. coli* lac 启动子控制下时, hemA 才能在 *E. coli* 中表达, IPTG(异丙基-D-半乳糖毗喃糖苷)可诱导 *E. coli* lac 启动子。但它并未能提高重组 ALAS 的活性 (Table 3)。对以琥珀酸或乳酸为碳源的重组菌 ALAS 活性分析表明, 以琥珀酸为碳源时 ALAS 活性比 LB 上的高 ($P < 0.05$), 乳酸为碳源时 ALAS 活性几乎检测不到, 在各种培养基中加入 IPTG 对 ALAS 活性影响差异不显著 ($P > 0.05$)。为了分析 *R. sphaeroides* hemA 的启动子对重组 ALAS 表达的影响, 重新构建了质粒 pALA7, 该质粒在 hemA 的下游区域起始密码子发生缺失, 在 hemA 的 5' 端用 pUII015 诱导 EcoR 的限

Table 2 ALA-related enzymes activity and ALA production by *E. coli* DH1 containing different plasmid

Plasmids	Enzymes activity /nmol·min ⁻¹ ·mg ⁻¹	ALA /nmol·L ⁻¹
Control	0.01 ± 0.005	0.19 ± 0.014
pUC19 Kn	0.01 ± 0.001	1.58 ± 0.021
pALA3	0.01 ± 0.005	1.11 ± 0.010
pALA2	3.42 ± 0.079	9.22 ± 0.052

Table 3 ALAS activity and ALA production by *E. coli* DH1 containing hemA at different distances from the lac promoter in the absence and presence of IPTG

Plasmids	Medium	IPTG	ALAS activity /nmol·min ⁻¹ ·mg ⁻¹	ALA /nmol·L ⁻¹
pALA2	LB	-	3.42 ± 0.49	9.22 ± 1.28
		+	3.15 ± 0.27	8.93 ± 1.07
	Lactose	-	0.006 ± 0.001	0.19 ± 0.036
		+	0.006 ± 0.001	0.15 ± 0.001
	Succinate	-	53.54 ± 0.95	27.8 ± 1.12
		+	52.23 ± 1.37	27.1 ± 0.58
pALA7	LB	-	12.47 ± 1.20	18.4 ± 1.51
		+	13.12 ± 0.99	18.7 ± 0.68
	Lactose	-	0.004 ± 0.001	0.15 ± 0.005
		+	0.005 ± 0.001	0.16 ± 0.019
	succinate	-	16.33 ± 0.64	21.9 ± 0.84
		+	18.46 ± 1.19	23.8 ± 1.23

制性位点, 将 320 bp 的 PCR 片段和含有 hemA 3' 端 1.4 kb 的 Sac 和 BamH 片段连接到 pUC18 上, 可在 Pst 位点诱导产生 Kn 抗性基因。含 pALA7 的重组菌无论在 LB 培养基上, 还是在琥珀酸培养基上, 都具有与含 pALA2 相似的 ALAS 活性, 但均低于琥珀酸培养基上 pALA2 转化的 *E. coli* DH1 的 ALAS 活性。同样含 pALA7 的细胞在乳酸培养基上也几乎检测不到 ALAS 活性, IPTG 也不能诱导 ALAS 的表达。由于 pALA2 转化的菌体 ALAS 活性最高 ($P < 0.05$), 后面的实验中采用了此质粒。

2.2 宿主菌对重组 ALAS 活性的影响

对 pALA2 转化不同 *E. coli* 菌株的 ALAS 活性分析表明 (Table 4), 不同宿主菌 ALAS 活性差异很大。某些 pALA2 转化的菌株菌液呈亮红色, 如 HB101、JA221, 且菌株产生了大量的四吡咯, 而 DH1、TGI 菌液不呈红色, 无大量四吡咯产生, 尤其 *E. coli* DH1, 其 ALAS 活性最高 ($P < 0.05$), 是最佳宿主菌。

2.3 碳源对重组 ALAS 活性的影响

本实验分析了 9 种碳源对 pALA2 转化的 *E. coli* DH1 的 ALAS 活性的影响, 发现乙醛酸、L-缬氨酸、L-蛋氨酸、L-异亮氨酸和丙氨酸都不能作为碳源利用, 一些 4C 二羧酸可提高重组 ALAS 活性和 ALA 的合成 ($P < 0.05$), D-苹果酸、谷氨酸、胱氨酸、葡萄

Table 4 ALAS activity and ALA production by different host strains containing plasmid pALA2

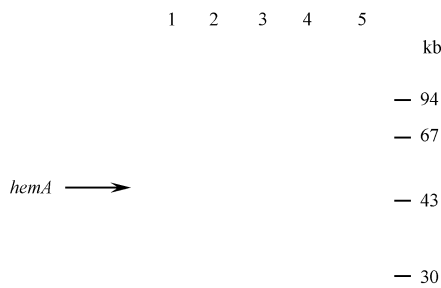
<i>E. coli</i>	ALAS activity /mmol min ⁻¹ mg ⁻¹	ALA/mmol L ⁻¹	Pyrrole (A _{405nm})
BL21	5.91 ±0.74	11.2 ±0.79	1.23 ±0.08
CI236	1.26 ±0.03	3.24 ±0.08	1.15 ±0.04
DH1	53.54 ±1.15	27.8 ±1.12	0.07 ±0.01
HB101	0.04 ±0.01	1.62 ±0.04	5.56 ±0.32
JA221	0.31 ±0.07	1.35 ±0.04	5.43 ±0.08
TG1	1.89 ±0.11	3.33 ±0.13	0.08 ±0.01

糖等则会使 ALAS 活性下降,以乳酸为碳源时几乎检测不到 ALAS 活性 (Table 5)。

Table 5 Effect of substrates on ALAS activity and ALA production by *E. coli* DH1 containing pALA2

Growth substrate	ALAS activity /mmol min ⁻¹ mg ⁻¹	ALA /mmol L ⁻¹
Succinate	53.54 ±1.15	27.8 ±1.12
Fumarate	47.19 ±1.14	21.3 ±0.85
L-Malate	45.13 ±1.26	19.5 ±1.11
-Ketoglutarate	24.10 ±0.96	8.94 ±0.89
D-Malate	2.99 ±0.22	5.71 ±0.54
L-Glutamate	1.89 ±0.27	2.12 ±0.31
L-Serine	1.29 ±0.19	1.04 ±0.17
L-Threonine	1.66 ±0.09	1.79 ±0.22
Glucose	0.08 ±0.01	0.31 ±0.01
Lactose	0.01 ±0.01	0.19 ±0.01

据报道, *R. sphaeroides hemA* 编码的 ALAS 分子量为 44.6 kb^[13], 本实验中只有 pALA2 转化的 *E. coli* DH1 才能检测到具有近似分子量的蛋白 (Fig. 2). pALA2 转化的重组蛋白 Western 印迹分析也进一步证实了此结论 (Fig. 3).

**Fig. 2** SDS-PAGE of *E. coli* DH1 containing different plasmid on succinate or lactose medium.

1. *E. coli* DH1 containing pALA2 on lactose medium; 2. *E. coli* DH1 containing pALA2 on succinate medium; 3. Wild-type *E. coli* DH1 on succinate medium; 4. *E. coli* DH1 containing pUC19K on succinate medium; 5. *E. coli* DH1 containing pALA3 on succinate medium

(A)	1	2	(B)	1	2	- 62
				- 47		
					- 47	

Fig. 3 Cross reactivity analysis of anti-hemA by Western blotting

- (A) 1. Purified hemA; 2. Whole cells of an induced culture of *E. coli* DH1 containing pALA2; primary antibody, anti-GST-hemA antisera; secondary antibody, goat anti-(rabbit IgG) conjugated with alkaline phosphate;
- (B) 1. Primary antisera, anti-GST-hemA antisera, secondary antibody, goat anti-(rabbit IgG) conjugated with alkaline phosphatase against 0.5 μg purified mouse ALAS; 2. Marker

2.4 培养基 pH 对重组 ALAS 活性的影响

菌体培养过程中,培养基 pH 会升高,不同初始 pH 对 ALAS 活性的影响分析结果 (Table 6) 表明,培养基 pH 6.5 时,ALAS 活性最高 ($P < 0.05$),高于或低于 6.5,ALAS 活性都会下降。

Table 6 Effect of medium pH on ALAS activity in *E. coli* DH1 containing pALA2

Medium pH	ALAS activity /mmol min ⁻¹ mg ⁻¹	
	Beginning	End
5.0	5.20	11.33 ±0.69
5.5	5.71	17.24 ±1.02
6.0	6.49	33.91 ±1.30
6.5	7.12	53.54 ±1.15
7.0	7.51	32.58 ±0.37
7.5	7.80	17.05 ±1.42
8.0	7.81	11.35 ±0.85

3 讨论

本实验将 *R. sphaeroides hemA* 导入 *E. coli*, 分析了影响 *hemA* 表达及重组 ALAS 活性的因子。野生型细胞中 ALA 合成受严格调控,因为在四吡咯合成过程中只需很少量的 ALA,且不能分泌到细胞外中,因而不易分离得到。可见利用野生型菌株获取大量 ALA 非理想途径。将 *R. sphaeroides hemA* 导入 *E. coli* DH1 后,ALA 合成可利用 C5 途径,但获得 ALAS 的最大活性, *hemA* 表达还需 *E. coli* DH1 lac 启动子的诱导。但是 lac 启动子的常规诱导物 IPTG 并不能提高重组 ALAS 的活性。

由于重组质粒 pALA2 中, *R. sphaeroides hemA* 启动序列正常,其转化的 *E. coli* DH1 在琥珀酸培养基上生长时,ALAS 活性显著提高 ($P < 0.05$),当启动序列发生缺失,如 pALA7,琥珀酸培养基上和 LB 上的 ALAS 活性相近,这说明启动序列调节信号会影响重组 *E. coli* DH1 的 ALAS 活性。

宿主菌对重组 ALAS 活性影响,主要是不同菌株 ALA 转化为四吡咯的效率不同,ALAS 可被血红素强烈抑制,大量产生的四吡咯不仅使 ALA 由于转化为四吡咯而合成量下降,而且由于 ALAS 活性抑制,ALA 合成速率也下降,除 BL21 外,其它菌株均为 *E. coli* K12 的随机突变衍生菌株,可能是突变过程改变了细胞内四吡咯的合成途径.

此外碳源、前体物、培养基 pH 对 ALAS 活性也有显著影响. 这些因子可能会导致质粒拷贝数的改变. Klotsky 曾报道质粒拷贝数取决于生长底物^[13]. 以 4C 二羧酸为 C 源可提高重组 ALAS 活性, 以乳酸或以 D-葡萄糖为碳源均会抑制 ALAS 活性, 说明 *R. sphaeroides hemA* 本身携带的调控序列未能调节 *E. coli* DH1 的 ALAS 表达. Chen^[6] 报道, 在 *hemA* 上游序列有转录调节因子 Fnr 和 Fixk 的结合位点. 这些调节因子可适应通气状况的变化, pALA2 转化的 *E. coli* DH1 的 ALAS 活性不受通气状况影响, 可能 *hemA* 的此段序列发挥了作用.

本实验通过对 pALA2 转化的 *E. coli* DH1 的表达条件的调控, 可使重组菌 ALA 合成量提高到 27.8 mmol/L, 这是目前有关此类的报道中最高的. 我们认为通过高水平静止酶体系可进一步提高 ALA 产量, 另外, 由于琥珀酸比 ALA 便宜 300 倍以上, 以琥珀酸等廉价碳源, 通过构建重组菌合成 ALA 是生物合成上很有前景的一条途径.

参考文献 (References)

- Lascelles J. Regulation of Pyrrole Synthesis. *The Photosynthetic Bacteria*. New York: Plenum Press. 1998, 795 ~ 808
- 王俊卿, 张肇铭. 5-氨基乙酰丙酸的光动力应用研究进展. 微生物学通报 (Wang Jun-Qing, Zhang Zhao-Ming. Development in photodynamic application of 5-aminolevulinic acid. *Microbiology*), 2004, 31(3) : 136 ~ 140
- Fritsch C, Homey B, Stahl W. preferential relative porphyrin enrichment in solar keratoses upon topical application. *J Photochem Photobiol B*, 1998, 62: 218 ~ 222
- Novo M, Huttman G, Didden H. Chemical instability of 5-aminolevulinic acid used in the fluorescence diagnosis. *J Photochem Photobiol B*, 1996, 60: 143 ~ 149
- 王俊卿, 张肇铭. 前体物、乙酰丙酸对 5-氨基乙酰丙酸合成的影响. 应用与环境生物学报 (Wang Jun-Qing, Zhang Zhao-Ming. Effect of precursors and levulinic acid on accumulation of 5-aminolevulinic acid. *Chin J Appl Environ Biol*), 2004, 10: 660 ~ 662
- Chen W, Russell Y, Murooka Y. 5-ALA synthesis in *Escherichia coli* requires expression of *hemA*. *J Bacteriol*, 1994, 176: 2743 ~ 2746
- Li J M, Brathwaite S D, Cosloy S. 5-ALA synthesis in *Escherichia coli*. *J Bacteriol*, 1989, 171: 2547 ~ 2552
- 王俊卿, 张肇铭. 重组球形红细菌 5-氨基乙酰丙酸合酶同工酶 *hemA*, *hemT* 的特性. 中国生物化学与分子生物学报 (Wang Jun-Qing, Zhang Zhao-Ming. Characteristics of recombinant *Rhodobacter sphaeroides* 5-aminolevulinic acid synthase isoenzymes *hemA* and *hemT*. *Chin J Biochem Mol Biol*), 2005, 21(3) : 369 ~ 375
- Sambrook J, Frisch E F, Maniatis T. *Molecular Cloning: A Laboratory Manual*, 2nd ed. New York: Cold Spring Harbor Laboratory Press. 1989
- Burnham B F. 5-aminolevulinic acid synthase (*Rhodobacter sphaeroides*). *Methods Enzymol*, 1990, 17A: 195 ~ 204
- Ghazayeb J, Kimura M, Takahara H. Secretion cloning vector in *Escherichia coli*. *EMBO J*, 1994, 13: 2437 ~ 3442
- Ferreira G, Dailey H A. Expression of mammalian 5-aminolevulinic acid synthase in over production, purification and characterization. *J Biol Chem*, 2002, 277: 1720 ~ 1723
- Klotsky R A, Schwartz I. Measurement of cat expression from growth rate-regulated promoters employing lactamase activity as an indicator of plasmid copy number. *Gene*, 2003, 31: 141 ~ 146